

Η ΠΟΡΦΥΡΙΚΗ ΕΜΦΑΝΙΣΗ ΜΟΛΥΒΔΑΙΝΗΤΗ ΣΤΗ ΘΕΣΗ «ΠΑΓΩΝΗ ΡΑΧΗ» (ΒΑ. ΚΙΡΚΗΣ) ΚΑΙ Η ΟΡΥΚΤΟΛΟΓΙΚΗ ΤΑΞΙΝΟΜΗΣΗ ΤΩΝ ΥΔΡΟΘΕΡΜΙΚΩΝ ΕΞΑΛΛΟΙΩΣΕΩΝ ΥΠΟΗΦΑΙΣΤΙΤΩΝ ΠΕΡΙΟΧΗΣ ΚΙΡΚΗΣ-ΑΙΣΥΜΗΣ (Ν. ΕΒΡΟΥ)

Κ. Αρίκας**

ΣΥΝΟΨΗ

Η παρούσα εργασία ασχολείται με την ορυκτολογία και ορυκτοχημεία των υδροθερμικών εξαλλοιώσεων των δακτιοανδεσιτικών υποηφαίστιτών της περιοχής Κίρκης-Αισύμης, και ιδιαίτερα εκείνων που σχετίζονται με την διάσπαρτη μεταλλοφορία Μολυβδαίνητη στην Παγώνη Ράχη (ΒΑ Κίρκης). Η ζωνώδης γεωμετρία και οι ορυκτολογικές παραγενέσεις των εξαλλοιώσεων στην Παγώνη Ράχη ταυτίζονται με μοντέλο μεταλλοφορίας μολυβδαίνητη πορφυρικού τύπου. Εξαίρεται η κοιτασματολοτική σημασία της εμφάνισης «Παγώνη Ράχη» επιπλέον σαν αντικείμενο συσχέτισης με παρόμοιες εξαλλοιώσεις γειτονικών περιοχών στη Θράκη.

ABSTRACT

The present elaboration deals with the mineral chemistry of the hydrothermal alterations of the area of Kirkis-Esymi, and especially the disseminated molybdenite mineralisation of Pagoni Rachi (NE-Kirkis). The zone geometric features and the mineral paragenesis of the alteration occurrences in Pagoni Rachi are striking similar to those of the porphyry-molybdenum model. The economic significance of this occurrence and the comparable alterations within Thrace are pronounced.

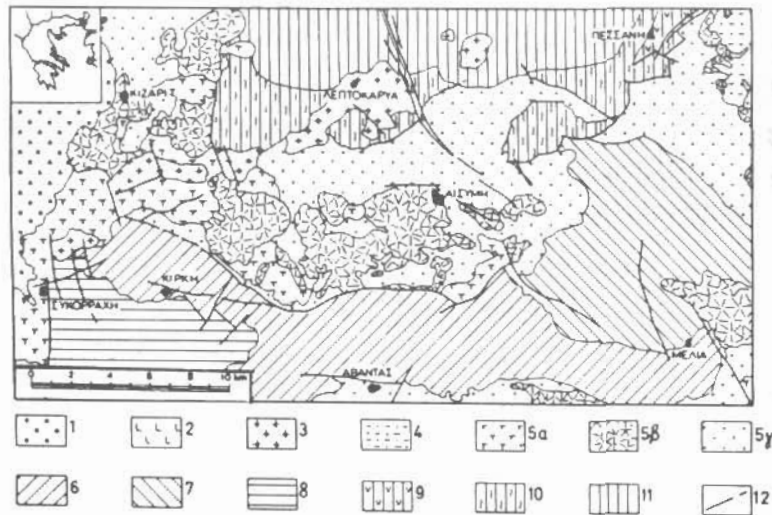
ΕΙΣΑΓΩΓΗ

Σε δύο δημοσιεύσεις (ARIKAS 1979b καὶ 1981) έγινε γνωστή η εμφάνιση διάσπαρτης μεταλλοφορίας μολυβδαίνητη πορφυρικού τύπου μέσα στο σώμα δακτιτικού ανδεσίτη, ο οποίος καταλαμβάνει την περιοχή ΒΑ Κίρκης, μεταξύ μεταλλείου Αγίου Φιλίππου, Μαυρόπετρας καὶ του λόφου "Παγώνη Ράχη". Σε προηγούμενη γεωλογική καὶ πετρογραφική μελέτη της περιοχής Κίρκης (ARIKAS, 1979a), έγινε περιγραφή του υποηφαίστιτη αυτού καὶ των εξαλλοιώσεών του.

Υποηφαίστειακά σώματα του ίδιου δακτιοανδεσίτη εμφανίζονται καὶ ανατολικά της Μαυρόπετρας καὶ κυριαρχούν στην περιοχή Αισύμης (KATIPTZOGLOU, 1978, 1979, 1986). Σε μελέτη από ARIKA (1985) διαπιστώθηκε η ταυτόσημη ορυκτολογική-πετρογραφική καὶ χημική σύσταση^{*} των υποηφαίστιτών καὶ των εξαλλοιώσεών τους στις περιοχές "Μύλοι" Αισύμης καὶ ΒΑ Κίρκης. Το σχήμα 1 παρουσιάζει το γεωλογικό περιβάλλον της

* Η παρούσα μελέτη βασίζεται σε 109 χημικές αναλύσεις πετρωμάτων που αφορούν τους υποηφαίστεις καὶ τις εξαλλοιώσεις τους στις περιοχές ΒΑ Κίρκης (69) καὶ Αισύμης (40), καθώς επίσης σε 125 μικροαναλύσεις διαφόρων ορυκτών καὶ σε περίπου 100 μικροαναλύσεις ειδικά του μολυβδαίνητης "Παγώνη Ράχης".

**Mineralogisch-Petrographisches Institut, Universität Hamburg, Grindelallee 48, D-2000 Hamburg 13.



Σχ. 1. Γεωλογικός χάρτης περιοχής Κίρκης-Αισύμης
(από KATIRTZOGLU, 1986, σχ. 8, σ. 32)

1. Τεταρτογενείς αποθέσεις
2. Φλέβες "μυαλιθικής" σύστασης
3. Γρανοδιορίτες, μονζονίτες, μονζοδιορίτες
4. Οξινοί τόφφοι και ρυάλιθοι (Πίεσαόνη)
5. Ηφαστιακή σειρά ενδιάμεσης σύστασης και ιζήματα Πραμπονίου-Ολιγόκαλνου
 - (a) τόφφοι με παρεμβολές εκχύσεων
 - (b) υποηφαστίτες (Κίρκη-Αισύμη) και εκχύσεις
 - (γ) φαρμίτες/πολίτες και τοφφίτες
6. Βαθύιδια Λουτησίου
7. Ενότητα Δρυμού-Μελιάς
8. Ενότητα Μάκρης
9. Υπερβασικά σώματα
10. Χλωριτοαμφιβολιτική σειρά
11. Γνειστακή σειρά
12. Ρήγμα

Ολιγόκαλνο-
Αν. Ήκαλνο

Μεσοζωϊκό

Παλαιοκρυσταλλική
μάζα της Ροδόπης

Fig. 1. Geological map of the area Kirki - Esymi
(after KATIRTZOGLU, 1986, Fig. 8, p. 32)

1. Quarternary deposits
2. Rhyolitic dikes
3. Granodiorites, monzonites, monzodiorites
4. Rhyolites and rhyolitic tufts
5. Volcanic rocks, tufts and sediments
 - (a) tufts and lavas
 - (b) subvolcanic rocks (Kirki-Esymi) and lavas
 - (c) psammites/pelite and tufts
6. Lutetian
7. Drymos-Melia-Unit
8. Makri-Unit
9. Ultrabasites
10. Amphibolites
11. Gneisses
12. Faults

Oligocene to
Upper Eocene

Mesozoic

Paleocrystalline
of the
Rhodope - Massif

Ψηφιακή Βιβλιοθήκη "Θεόφραστος" - Τμήμα Γεωλογίας. Α.Π.Θ.

ηφαστιειακής περιοχής Κίρκης-Αισύμης και το σχ. 2 την εμφάνιση "Παγώνη Ράχη" BA Κίρκης.

Η παρούσα εργασία αφορά την ορυκτοχημεία των εξαλλοιώσεων των δακτοανδεσιτικών υποηφαστιτών Κίρκης-Αισύμης. Το ιδιαίτερο ενδιαφέρον όμως συγκεντρώνεται στις ορυκτολογικές παραγενέσεις των εξαλλοιώσεων που σχετίζονται με την πορφυρική εμφάνιση μολυβδανίτη "Παγώνη Ράχη" και εξαίρεται η κοιτασματολογική σημασία αυτών, επιπλέον σαν αντικείμενο συσχέτισης με παρόμοιες εμφανίσεις γετινικών περιοχών στη Θράκη.

Ο δακτοανδεσίτης στην περιοχή μεταξύ "Άγιου Φιλίππου", "Μαυρόπετρας" και "Παγώνη Ράχη" έχει σταθερή (ενταία) ορυκτολογική και χημική σύσταση. Ο πορφυρικός του ιστός χαρακτηρίζεται από φαινοκρυστάλλους πλαγιοκλάστου (ανδεσίνης-λαβραδόριο), αμφιβόλου (κοινή κεροστίλβη), βιοτίτη (μεροξενος) και μαγνητίτη. Φαινοκρύσταλλοι χαλαζία είναι σπάνιοι. Στην μικροκρυσταλλική κυρία μάζα υπερέχουν ο χαλαζίας και ο καλιούχος άστρος του πλαγιοκλάστου.

Τα σχετικά υγιή δείγματα περιέχουν 59-62% SiO_2 . Με βάση το σύνολο στοιχείων σε 100%, όπως την απώλεια πυρώσεως, οι τιμές SiO_2 ανέρχονται στο 60-63%. Είσται σύμφωνα με την ταξινόμηση των ηφαστιτών ασβεσταλκαλικών σειρών από PECCE-RILLO & TAYLOR (1976), οι υποηφαστίτες BA Κίρκης (και της Αισύμης) τοποθετούνται στα δριλικά ανδεσίτη-δακίτη και για αυτό στη συνέχεια χρησιμοποιείται η ονομασία "δακτοανδεσίτης" και συχνά πιο απλοποιημένα "δακτοανδεσίτης".

Ο δακτοανδεσίτης παρουσιάζει ίνιαχρα στάδια προπολιτώντων. Εντονότερες εξαλλοιώσεις (πυριτίωση, σερικιτίωση, αλβιτίωση και κατά τόπους καρολινιτίωση) προκάλεσαν στο πέτρωμα ένα "λευκό" χρώμα (ξεθώριασμα). Αυτές οι εξαλλοιώσεις συνδέονται από άφθονο σιδηροπορίτη και έχουν ιδιαίτερη κοιτασματολογική σημασία γιατί μπορούν να οδηγήσουν σε ζώνες απόθεσης σπανίων μεταλλικών ορυκτών και στοιχείων. Καταλαμβάνουν δε κατά τόπους μεγάλη επιφάνεια (Άγιος Φιλίππος, Παγώνη Ράχη, Μύλοι Αισύμης) ή περιορίζονται κατά μήκος τεκτονικών γραμμών (ανατολικά Μαυρόπετρας, Μύλοι Αισύμης).

ΤΑΞΙΝΟΜΗΣΗ ΤΩΝ ΕΞΑΛΛΟΙΩΣΕΩΝ ΚΑΙ ΔΙΑΣΠΑΡΤΗ ΜΕΤΑΛΛΟΦΟΡΙΑ ΣΤΗ ΘΕΣΗ "ΠΑΓΩΝΗ ΡΑΧΗ".

Ιδιαίτερο ενδιαφέρον παρουσιάζει η ζωνώδης κατανομή των εξαλλοιώσεων του δακτοανδεσίτη στην "Παγώνη Ράχη", η οποία από έξω προς τα μέσα έχει ώς εξής:

1. Προπολιτίωση: χαρακτηρίζεται από ολική αντικατάσταση της κεροστίλβης από χλωρίτη, επίδοτο, ασβεστίτη-αγκερίτη και του βιοτίτη από χλωρίτη, επίδοτο (+ρουτίλιο) και μερικές φορές από πρενίτη. Σε αυτό το στάδιο διατηρείται πάντοτε η αρ-



Σχ. 2. Γεωλογικός χάρτης περιοχής ΒΑ Κίρκης
(από ARIKAS, 1979a, σ. 78)

- Υδροθερμικές εξαλονώσεις του δακτιονδείτη
 - 1. "Αγήτης"-προπυλατιωμένος
 - 2. Ζώνη σερικιτίωσης
 - 3. Κεντρική ζώνη
 - 4. Ρηγματοειδείς εξαλονώσεις
 - 5. Διάφορες εξαλονώσεις (σερικιτίωση, πυριτίωση)
- Γεωλογικό περιβάλλον
- 6. Αλκαλικός ρυθόθρησος (ωλέβες)
 - 7. Αυγετικός-κεροστιλικός "δακιτής"
 - 8. Πυροξενικός αυδεσίτης
 - 9. "Ιζήματα", μηδοθερμικά επηρεασμένα
 - 10. Τόφφοι, τοφφίτες
 - 11. Βαθύδοντα λουτρών: κροκαλοπονή, φαρμίτες, νουμουνιλιτικοί ασβεστόλιθοι

Fig. 2. Geological map of the area NE Kírkis
(after ARIKAS, 1979a, p. 78)

Hydrothermal alterations of the dacitic andesite

- 1. "fresh" - propylitized
- 2. Sericitic zone
- 3. Central zone
- 4. Veined alterations
- 5. Various alterations (sericitization, silification)

Ψηφιακή Βιβλιοθήκη "Θεόφραστος" - Τμήμα Γεωλογίας ΙΑΠΘ

χυκή ιδιομορφία του βιοτίτη και της κεροστίλβης. Τα πλαγιόκλαστα εμφανίζουν μερική εξαλονώση σε αλβίτη, ασβετίτη και σερικίτη, η δε εξαλονώση του μαγνητίτη προσφέρει αιματίτη και μαγκευίτη.

Παρόλες αυτές τις εξαλονώσεις ο χημισμός του δακτιονδείτη δεν παρουσιάζει μεγάλες μεταβολές στο στάδιο προπυλιτίωσης (ισορροπία χημισμού).

2. Ζώνη σερικιτίωσης: Καλύπτει επιφάνεια κάπως κυκλικού σχήματος, άνω των 2 km^2 . Αποτέλεσμα της ιαχυρής εξαλονώσης είναι (όπως αναφέρθηκε προηγούμενα) το ξεθώριαμα ή λευκό χρώμα του πετρώματος, ώστε να ξεχωρίζει σαφώς από την περιβάλλουσα ζώνη προπυλιτίωσης. Όλα τα πρωτογενή ορυκτά είναι τελείως εξαλονωμένα και μόνο σε λίγες περιπτώσεις διακρίνονται ακόμη τα ίχνη της αρχικής μορφολογίας τους. Στο στάδιο αυτό επικρατούν ο σερικίτης και ο χαλαζίας και ακολουθούν σε εναλλασσόμενες περιεκτικότητες ασβεστίτης/αγκερίτης και σιδηροπυρίτης. Ότι αφορά την εξέλιξη της ορυκτολογικής παραγένεσης πρέπει να αναφερθεί η εξής παρατήρηση: Περιφερειακά της ζώνης αυτής ο σερικίτης συνοδεύεται κατά θέσεις από καολινίτη, ενώ προς το εσωτερικό εναλλάσσεται με αλβίτη.

Αποτέλεσμα αυτών των εξαλονώσεων είναι η ανάλογα έντονη αλλαγή στο χημισμό του δακτιονδείτη (λεπτομέρειες ARIKAS, 1981).

3. Κεντρική ζώνη: Εμφανίζεται στην επιφάνεια με διάμετρο περίπου 700 m. Το ενδιαφέρον της δειγματοληψίας και της ορυκτολογικής μελέτης συγκεντρώνεται ιδιαίτερα σε ένα ρέμα που διασχίζει σε βόρεια-νότια κατεύθυνση την κεντρική ζώνη και βοηθεί την παρατήρηση σε βαθύτερα, μη διαβρωμένα σημεία του πετρώματος. Εδώ λοιπόν παρατηρούνται μακροσκοπικά τα εξής:

- Το πέτρωμα είναι ιδιαίτερα σκληρό (απόροια του συμφυτικού λατού των ορυκτών εξαλονώσης, βλ. παρακάτω) και δίνει την εντύπωση χαλαζίτη ή κερατίτη. Τεμαχίζεται όμως εύκολα κατά μήκος επιφανειών κατάκλασης.
- Είναι χαρακτηριστική η πληθώρα χαλαζιακών φλεβιδίων, τα οποία είναι πιο εντυπωσιακά με το ανάγλυφό τους στο διαβρωμένο πέτρωμα που επικρατεί στα ψηλότερα σημεία των εκατέρωθεν του ρέματος πλευρών.

Η κατανομή του μολυβδανίτη στο πέτρωμα είναι πολύ ανομοιογενής. Ορισμένες επιφάνειες κατάκλασης εμφανίζουν π.χ. έναν "φλοιό" με εντυπωσιακή συγκέντρωση κρυστάλλων/ελασμάτων μολυβδανίτη μεγέθους πάνω από 1 mm, ενώ άλλες στην ίδια θέση είναι στείρες ή περιέχουν κυρίως σιδηροπυρίτη μαζί με λίγους κόκκους χαλκοπυρίτη. Ο μολυβδανίτης (πιο μικροκρυσταλλικός) είναι επίσης σε ορισμένα σημεία έμφυτος μέσα στο πέτρωμα. Απόροια της ανομοιογένειας είναι και η διακύμανση τιμών Mo που προέκυψαν από την ανάλυση μιας σειράς δειγμάτων (ARIKAS, 1979b): 30 έως 1360 ppm (0.01 έως 0.23% MoS₂). Οι περιεκτικότητες χαλκού δεν είναι υψηλές, είναι όμως πολλαπλάσιες εκείνων της περιφερειακής ζώνης σερικιτίωσης. Οι τιμές Cu είναι γενικά πιο σταθερές και κυμαίνονται μεταξύ 250 και 560 ppm.

ορυκτά, τα οποία διαφοροποίησαν τελείως και τον αρχικό λιστό του δακτυοανδεσίτη. Η πυριτίωση παίζει (όπως στην περιβάλλουσα ζώνη σερικλιώσης) βασικό ρόλο, επικρατεί όμως αλβίτης/καλιούχος άστριος έναντι του σερικίτη. Ακολουθούν βιοτίτης/φλογοπίτης με συγγενή φυλλοπυριτικά ορυκτά, ακτινόλιθος, χλωρίτης, μαγνητίτης και φθορίτης (λεπτομέρειες στο επόμενο κεφάλαιο).

Παρατηρείται γενικά ότι η κατανομή και η ποσοτική σχέση των υδροθερμικών ορυκτών (όπως και του μολυβδανίτη) είναι πολύ ανομοιογενής και διαφέρει ακόμα και στο περιθώριο λίγων μέτρων. Ανεξάρτητα όμως από αυτό διαπιστώνεται λαχυρή σύμφυση στην σύνδεση των ορυκτών μεταξύ τους. Πολλές φορές εμφανίζεται ένα είδος γρανοβλαστικού λιστού, ιδιαίτερα στις συγκεντρώσεις νεοσχηματισθέντων άστρων.

ΟΡΥΚΤΟΛΟΓΙΑ-ΟΡΥΚΤΟΧΗΜΕΙΑ ΤΩΝ ΠΡΟΙΟΝΤΩΝ ΕΞΑΛΛΟΙΩΣΗΣ ΤΗΣ "ΚΕΝΤΡΙΚΗΣ ΖΩΝΗΣ"

Η πιο ενδιαφέρουσα από τις μέχρι τώρα γνωστές εξαλλοιώσεις των δακτυοανδεσιτικών υποφαστιτών Κίρκης-Αιασίμης είναι αυτή της παραπάνω αναφερόμενης "κεντρικής ζώνης" στην Παγώνη Ράχη. Γι αυτό γίνεται στην συνέχεια μια λεπτομερής ορυκτολογική/ορυκτοχημική περιγραφή και ταξινόμηση των προϊόντων εξαλλοιώσης της ζώνης αυτής, ιδιαίτερα αυτών που παρεβλήθηκαν ή δεν προσδιορίστηκαν επαρκώς στις προηγούμενες μελέτες.

Με την ευκατερία αυτή ανακοινώνονται και αξιοποιούνται μικροαναλύσεις και των ορυκτών του υγιείνη, προπολιτιωμένου και του σερικιτιωμένου δακτυοανδεσίτη, αποσκοπώντας την απ'ευθείας σύγκριση προκειμένου να διασφηνισθεί καλύτερα ο ιδιάζοντας χαρακτήρας χημισμού των ορυκτών εξαλλοιώσης της "κεντρικής ζώνης".

Μολυβδανίτης

Για τη μορφολογία, μέγεθος και κατανομή του μολυβδανίτη έγινε λόγος στο προηγούμενο κεφάλαιο (συμπληρωματικά στοιχεία και μικροφωτογραφίες, ARIKAS 1979b/1981).

Μεγάλη σημασία έχουν οι ιδιαίτερα υψηλές περιεκτικότητες Ρεντού στον μολυβδανίτη. Από ανακοίνωση ARIKAS (1979b) βρέθηκαν τιμές Re 1,5 έως 2,3%. Σε επαναλήψεις πολλαπλών μικροαναλύσεων μολυβδανίτη διαπιστώθηκε ότι η κατανομή Ρεντού στους κρυστάλλους μολυβδανίτη είναι πολύ ανομοιογενής και μετρήθηκαν μεταβλητές περιεκτικότητες από 0,4 έως 3,4% Re, επικρατούν όμως οι τιμές 1,5-2%.

Για το σπάνιο και περιζήτητο αυτό χημικό στοιχείο (η παραγωγή του συνδέεται με την εκμετάλλευση μολυβδανίτη) αναφέρονται συγκοιτικά μερικά βιβλιογραφικά δεδομένα: FLEISCHER (1959) σε αναλύσεις από 82 εμφανίσεις δίνει σαν ανώτερη

τιμή 0,32% και SUTULOV (1973) από 27 γνωστά πορφυρικά κοιτάσματα 0,06 έως 0,2% Re στον μολυβδανίτη.

Οι παραπάνω αναφερόμενες τιμές Ρεντού στην "Παγώνη Ράχη" είναι λοιπόν εντυπωσιακές και συνιστάται συστηματική μελέτη του θέματος αυτού με περισσότερες επαναλήψεις αναλύσεων*.

Σιδηροπυρίτης-Χαλκοπυρίτης

Για τα διάσπαρτα αυτά μεταλλικά ορυκτά στην κεντρική ζώνη (σιδηροπυρίτης επίσης στην ζώνη σερικιτιώσης) έγινε λόγος στο προηγούμενο κεφάλαιο (συμπληρωματικά στοιχεία βλ. ARIKAS 1979b/1981).

Χαλαζίας-πυρτίωση

Για την πυριτίωση και τα χαλαζιακά φλεβίδια έγινε λόγος στο προηγούμενο κεφάλαιο, συμπληρωματικά στοιχεία βλ. ARIKAS, 1979b/1981.

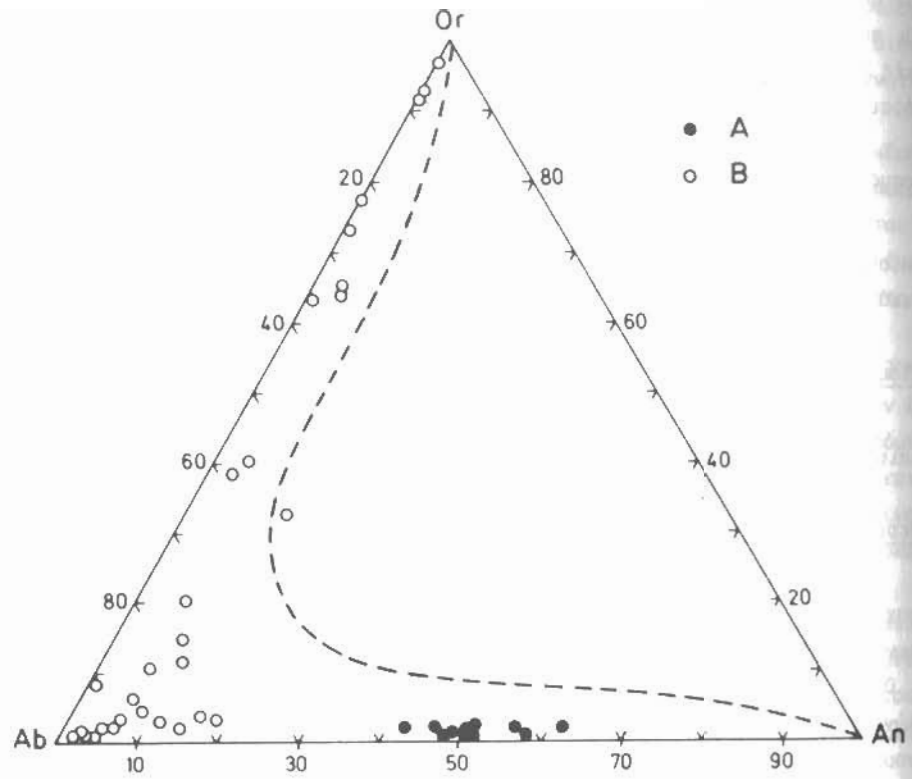
Υδροθερμικοί άστροι

Η αλβίτηση είναι ένα από τα κύρια χαρακτηριστικά της κεντρικής ζώνης. Ο νεοσχηματισμένος αλβίτης δίνει στο μικροσκόπιο την εικόνα σχετικά μεγάλων κρυστάλλων σε ένα είδος γρανοβλαστικής σύμφυσης, χωρίς όμως σαφή συνόρευση μεταξύ τους. Οι κρύσταλλοι αυτοί παρουσιάζουν ανομοιογένεια στον χημισμό τους, η οποία εκδηλώνεται οπτικά με διακυμάνσεις στην κατάσβεση και διπλοθλαστικότητα. Η χημική ανομοιογένεια και τα πολλαπλά υπομικροσκοπικά εγκλείσματα υποβιβάζουν την διάγνεια των κρυστάλλων και δυσκολεύουν την μικροανάλυσή τους.

Σε πρόσφατες παρατηρήσεις διαπιστώθηκαν μέσα στους "κρυστάλλους" και τις συσσωματώσεις του "αλβίτη" τμήματα με ασαφή συνόρευση, τα οποία όμως είναι πιο διαυγή από το περιβάλλον τους. Οι μικροαναλύσεις έδωσαν εδώ χημισμό καθαρού καλιούχου άστρου. Σε άλλα σχετικά διαυγή τμήματα διαπιστώνεται καλιούχος άστρος με υψηλές τιμές νάτριου. Μια άλλη διαπίστωση που προκύπτει από την ορυκτοχημική ανάλυση είναι οι διακυμάνσεις των περιεκτικοτήτων ασβέστου στον αλβίτη. Από μερικές αναλύσεις προκύπτει μάλιστα ο χημισμός ολιγοκλάστου.

Στο σχήμα 3 δίνεται παραστατικά το φάσμα και η ταξινόμηση των υδροθερμικών αλκαλικών αστρίων σύμφωνα με τις αναλογίες ορθοκλάστου (Or), αλβίτη (Ab), και ανορθίτη (An), που υπολογίστηκαν από τις μικροαναλύσεις. Συμπληρωματικά δίνονται στο ίδιο τρίγωνο και οι θέσεις των αναλυθέντων πλαγιοκλάστων (ανδειάνης-λαβραδόριο) του υγιείνη δακτυοανδεσίτη.

* Μέχρι τώρα έγιναν πάνω από 100 μικροαναλύσεις του μολυβδανίτη στη θέση "Παγώνη Ράχη" (στο Ινστιτούτο Ορυκτολογίας Πανεπιστημίου Αιγαίου). Οι εκπληκτικές τιμές Re δημιουργούν φυσικά και αμφιβολίες. Γι αυτό ενδείκνυται επανάληψη αναλύσεων και με πληρότερη μεθόδους σε διαφορετικά Ινστιτούτα.



Σχ. 3. Ταξινόμηση των αστρίων σύμφωνα με τη σχέση ορθόκλαστο (Or)/αλβίτη (Ab)/ανορθίτη (An).

A: Πλαγιόκλαστα του υγιή δακιτοανδεσίτη (ολιγόκλαστο/ανδεσίνη)
B: Υδροθερμικοί δακτίοι της κεντρικής ζώνης: αλβίτης (έως ολιγόκλαστο), καλιούχοι δακτίοι και "ενδιάμεσοι τύποι".

Fig. 3: Characterization of felspars, according to the ratio orthoclase (Or)/albite (Ab)/anorthite (An)

A: Plagioclases of the fresh dacitic andesites (oligoclase/andesine)
B: Hydrothermal felspars of the central - zone: albite (up to oligoclase), K- felspars and intermediate types

Υδροθερμικοί βιοτίτες και άλλα συγγενή καλιούχα φυλλοπυριτικά ορυκτά

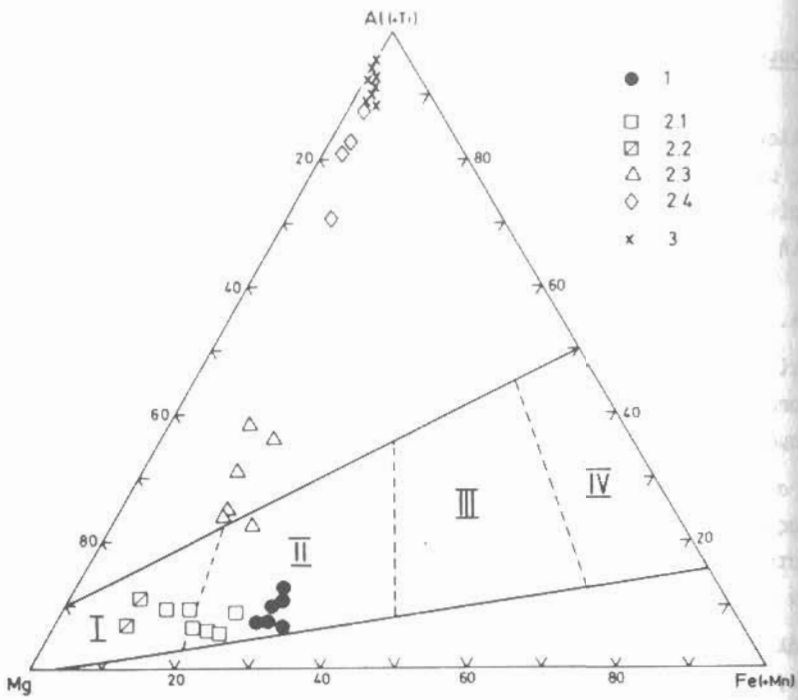
Στο τρίγωνο του σχήματος 4 δίνεται παραστατικά η θέση όλων των καλιούχων φυλλοπυριτικών ορυκτών σύμφωνα με τη σχέση (Al+Ti)/Fe/Mg που προκύπτουν στους από τις μικροαναλύσεις υπολογισθέντες χημικούς τύπους. Για σύγκριση δίνονται στο ίδιο τρίγωνο και οι θέσεις των αναλυθέντων κρυστάλλων από τον πρωτογενή βιοτίτη του υγιή δακιτοανδεσίτη.

Στην κεντρική ζώνη προσδιορίσθηκαν τα εξής καλιούχα φυλλοπυριτικά ορυκτά (βλ. ταξινόμηση στο σχήμα 4).

1. Βιοτίτες/φλογοπίτες με κοκκινοκαφέ χρώμα και έντονο πλεοχρωισμό. Οι βιοτίτες αυτοί αποτελούν συγκεντρώσεις/συσσωματώσεις από μικρά αλλά καλά κρυσταλλοποιημένα ελάσματα και "πλακίδια" με σαφή συνόρευση μεταξύ τους.
2. Δύο αναλύσεις αντιπροσωπεύουσαν συνειπάρχοντα φυλλοπυριτικά προϊόντα όμοιας μορφολογίας. Έχουν όμως χρώμα λαδί-πράσινο και ασθενέστερο πλεοχρωισμό. Αυτό οφείλεται στην σαφώς μικρότερη περιεκτικότητα σιδήρου και τιτανίου. Αντίστοιχα περιέχουν περισσότερο MgO και Al_2O_3 . Οι βιοτίτες αυτοί ανήκουν στον φλογοπίτη.
3. Σε άλλα δείγματα εμφανίζονται φυλλοπυριτικά προϊόντα ελαφρού πράσινου χρώματος. Μορφολογικά παρουσιάζουν δέσμες από ελάσματα με ασαφή συνόρευση μεταξύ τους και δίνουν στο μικροσκόπιο την εικόνα σερικίτη. Τα ορυκτά αυτά είναι βέβαια εκτός των ορίων της οικογένειας βιοτίτη και έχουν τάση προς τον χημισμό του σερικίτη (αυξάνονται οι τιμές του Al_2O_3 εις βάρος του MgO, FeO και K_2O). Παρόλα αυτά, τα εν λόγω φυλλοπυριτικά ορυκτά συγγενεύουν στο σύνολο της χημικής τους σύστασης περισσότερο με τους παραπάνω αναφερόμενους βιοτίτες-φλογοπίτες απ' ότι με "συνηθισμένο" σερικίτη.
4. Μεγαλύτερη οπτική και χημική ομοιότητα με σερικίτη παρουσιάζουν τα φυλλοπυριτικά προϊόντα όλου δείγματος της κεντρικής ζώνης. Όμως και αυτά περιέχουν συγκριτικά περισσότερο Mg και Fe από ότι οι σερικίτες εκτός της κεντρικής ζώνης.

Τελικά συμπεραίνεται ότι η εξέλιξη χημισμού και η χειροτέρευση κρυστάλλωσης από βιοτίτη/φλογοπίτη μέχρι "σερικίτη" στην κεντρική ζώνη, είναι αποτέλεσμα της βαθυταίας μείωσης της θερμοκρασίας, η δε ζώνη σερικιτίωσης που περιβάλλει την κεντρική ζώνη χαρακτηρίζεται από "κολνόν" σερικίτη, ο οποίος καταλαμβάνει ακραία θέση στην εξέλιξη αυτή (σχ. 4).

Οι περιεκτικότητες μαγνησίου και σιδήρου σε δευτερογενή καλιούχα φυλλοπυριτικά ορυκτά μπορούν να χρησιμοποιηθούν σαν δείκτες συσχέτισης θερμοκρασιών και σε άλλες γειτονικές περιοχές υδροθερμικών εξαλλοιώσεων (λαμβάνοντας βέβαια υπόψη και την υπόλοιπη παραγένεση ορυκτών εξαλλοιώσης).



Σχ. 4. Συσχέτιση των μελετηθέντων καλτούχων φυλλοπυριτικών ορυκτών στο τρίγωνο $\text{Al}+\text{Ti}/\text{Mg}/\text{Fe}(+\text{Mn})$. Εντός του τριγώνου ξεχωρίζεται το περιθώριο ταξινόμησης των μελών της οικογένειας βιοτίτη από FOSTER 1960 με τροποποίηση από TROCHIM (TROGER, 1971, s. 107): I. φλογοπίτης, II. μεροξένος, III. λεπιδομελάς, IV. σιδηροφυλλίτης.

- 1: Πρωτογενείς βιοτίτες του υγή δακτιοανδεσίτη (μεροξένος)
- 2: Καλτούχα φυλλοπυριτικά ορυκτά της κεντρικής ζώνης
 - 2.1. βιοτίτες (μεροξένος έως φλογοπίτης)
 - 2.2. φλογοπίτες
 - 2.3. μεταβατικοί τύποι από βιοτίτη/φλογοπίτη προς "σερικίτη"
 - 2.4. "σερικίτες"
3. σερικίτες από σερικτιωμένο δακτιοανδεσίτη ("Phyllitic Zone")

Fig. 4: Comparison of studied K-phyllosilicates in the triangle $\text{Al}+\text{Ti}/\text{Mg}/\text{Fe}(+\text{Mn})$. Within the triangle, the field of the biotite mineral classification of FOSTER 1960 and TROCHIM (in TROGER, 1971, p. 107) is depicted. I. phlogopite, II. meroxene, III. lepidomelane, IV. siderophyllite.

1. Primary biotites of the fresh dacitic andesite
2. K-phyllosilicates of the central zone
 - 2.1. Biotites (meroxene/phlogopite)
 - 2.2. Phlogopite
 - 2.3. Transitional types of biotite/phlogopite to "sericite"
 - 2.4. "Sericites"
3. Sericite of the sericitized dacitic andesite ("phyllitic zone")

Ψηφιακή Βιβλιοθήκη "Θεόφραστος" - Τμήμα Γεωλογίας, Α.Π.Θ.

Υδροθερμικοί αμφίβολοι

Οι δευτερογενείς αμφίβολοι εμφανίζονται σε συσσωμάτωση με άλλα υδροθερμικά προϊόντα (βιοτίτη, χλωρίτη, ασβεστίτη/αγκερίτη κ.λ.π.) και πληρούν με αυτά μερικές φορές μικρορήγματώσεις του πετρώματος. Παρουσιάζουν συνήθως ξενόμορφους, πολλές φορές όμως επιμήκεις μέχρι βελονοειδείς κρυστάλλους.

Οι αμφίβολοι αυτοί εμφανίζουν στις λεπτές τομές ασθενές πράσινο χρώμα, είναι πάντα καθαροί, διαυγείς και χημικώς ομοιογενείς. Ο προσδιορισμός του χημικού τους με τον μικροαναλυτή είναι λοιπόν απροβλημάτιστος. Οι χημικές αναλύσεις 11 κρυστάλλων από δύο δείγματα έδωσαν σχετικά όμοιες τιμές. Παρακάτω δίνεται ο μέσος όρος τιμών λόντων των χημικών τύπων που υπολογίστηκαν από τις μικροαναλύσεις: A) υδροθερμικός αμφίβολος της κεντρικής ζώνης (από 11 αναλύσεις), και για άμεση σύγκριση B) πρωτογενής αμφίβολος (κοινή κεροστίλβη) του υγιή δακτιοανδεσίτη (από 7 μικροαναλύσεις).

	Si	Al	Al	Ti	Fe	Mn	Mg	Ca	Na	K
A)	7,54	0,46	0,08	0,08	1,11	0,03	3,91	1,69	0,35	0,05
B)	6,87	1,11	0,32	0,11	1,58	0,08	3,24	1,75	0,35	0,06

Οι σχέσεις των υπογραμμισθέντων στοιχείων στον παραπάνω πίνακα Mg/Fe και λειταίτερα Al/Si χαρακτηρίζουν τη διαφορά χημισμού μεταξύ των υδροθερμικών αμφιβόλων και εκείνων του υγιή δακτιοανδεσίτη. Σύμφωνα με τα Βιβλιογραφικά δεδομένα, οι εν λόγω υδροθερμικοί αμφίβολοι ανήκουν στην οικογένεια του ακτινόλιθου. Δείχνουν σαφώς υψηλότερες τιμές μαγνησίου απέναντι του σιδήρου και πλησιάζουν έτσι τον χημισμό του γραμματίτη (μαγνησιούχο μέλος της σειράς ακτινόλιθου).

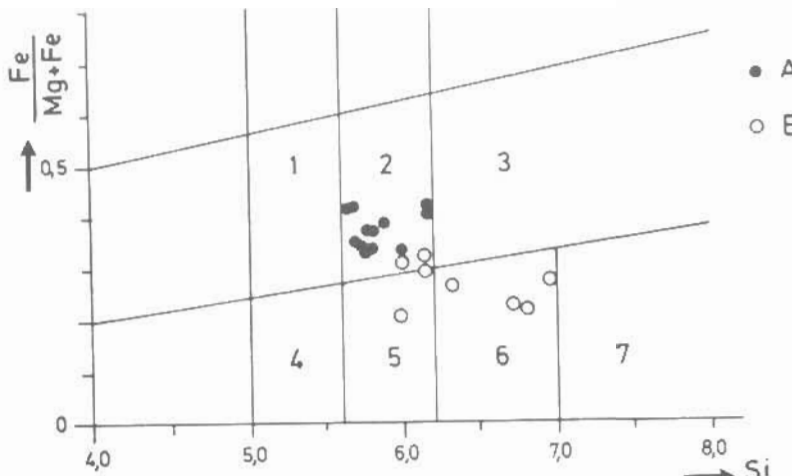
Χλωρίτης

Ο χλωρίτης αποτελεί το κυριότερο υδροθερμικό προϊόν της προπυλιτίωσης και αποστάζει από ταχυρά σερικιτιωμένα τμήματα της υποκείμενης "ζώνης σερικιτίωσης", εμφανίζεται όμως πάλι (όπως αναφέρθηκε) στην κεντρική ζώνη με σαφώς ασθενέστερο πράσινο χρώμα από τις στην προπυλιτίωση.

Από τη σχέση $(\text{Fe}/\text{Mg}+\text{Fe})/\text{Si}$ που προκύπτει από τους υπολογισθέντες χημικούς τύπους (σχ. 5) διαφαίνεται ότι οι χλωρίτες της κεντρικής ζώνης περιέχουν περισσότερο μαγνήσιο και πυρίτιο. Ανήκουν έτσι εν μέρει στον πεννίτη και ξεχωρίζουν σαφώς από τον χλωρίτη (=πυκνοχλωρίτη) της προπυλιτίωσης.

Ασβεστίτης-Αγκερίτης

Τα ανθρακικά ορυκτά αντιπροσωπεύονται σε εναλλασσόμενες περιεκτικότητες σε όλα τα στάδια εξαλλοίωσης. Από τις χημικές αναλύσεις του πετρώματος συμπεραίνεται ότι τα ανθρακικά ορυκτά περιλαμβάνουν συχνά και ορισμένες ποσότητες Mg και Ca , ενώ αποδεικνύεται ότι μεταξύ ασβεστίτη και αγκερίτη.



Σχ. 5: Ταξινομηση των ορυκτων της οικογενειας χλωριτη απο HEY (1954)
1. ριπιδόλιθος, 2. πυκνοχλωρίτης, 3. διαμπαντίτης, 4. σερίδανιτης,
5. κλινοχλωρός, 6. πεννίτης, 7. ταλχίκος χλωρίτης

A: χλωρίτες της προπυλιτιώσης
B: χλωρίτες της κεντρικής ζώνης

Fig. 5: Classification of the chlorite minerals according to HEY (1954): 1. Ripliolite, 2. pycnochlorite, 3. diabantite, 4. seridanite, 5. clinochlorite, 6. penite, 7. talc-chlorite

A: Chlorites of the propylitization
B: Chlorites of the central zone

Μαγνητίτης Φθορίτης Επίδοτο

Διάσπαρτος μαγνητίτης συμπληρώνει την παραγένεση υδροθερμικών ορυκτών της κεντρικής ζώνης. Η κατανομή του στο πέτρωμα είναι όμως πολύ ανομοιογενής. Σε μερικά σημεία διακρίνονται και μακροσκοπικά συγκεντρώσεις κόκκων μαγνητίτη.

Ο φθορίτης φαίνεται να αποτελεί συγκολλητικό υλικό μεταξύ των άλλων ορυκτών και να υπάρχει σε μικροεγκλείσματα του χαλαζία και των άστρων. Σίγουρος όμως είναι ο προσδιορισμός του φθορίτη όταν σχηματίζει μικρούς μεν αλλά αυτοφυείς κρυστάλλους.

Κόκκοι επίδοτου εμφανίζονται σε ορισμένα δείγματα, ιδίως σ' αυτά που περιέχουν σχετικά περισσότερο χλωρίτη. Οι μικροαναλύσεις έδειξαν ότι έχουν περίπου τον ίδιο χημισμό με τα επίδοτα της προπυλιτιώσης.

ΣΥΜΠΕΡΑΣΜΑΤΑ

Ο πετρολογικός τύπος του υποφαστελακού δακτυοανδεσίτη στη θέση "Παγών Ράχη", η ζωνώδης γεωμετρία και οι ορυκτολογικές παρατητικές ιδιότητες συμβολίζουν την θέση "Παγών Ράχη" ως έναν θερμοκρασιακό περιβάλλον που έχει χαρακτηριστεί ως "Phyllitic Zone".

ταυτίζονται με τα μοντέλα μεταλλοφορίας πορφυρικού τύπου των LOWEL & GUILBERT (1970), ROSE (1970), SILLITOE (1973), κ.α.

Η προπυλιτιώση του δακτυοανδεσίτη σαν εξωγερική ζώνη είναι ορυκτολογικά κλασσική και περιττεύει κάθε άλλη επεξήγηση.

Η υποκείμενη ζώνη του Ιαχυρά εξαλλοιωμένου (ξεθωριασμένου) δακτυοανδεσίτη με κύρια υδροθερμικά προϊόντα χαλαζία, σερικίτη, σιδηροπυρίτη, ταυτίζεται με την ονομαζόμενη στη βιβλιογραφία "Phyllitic Zone" για την οποία αναφέρονται θερμοκρασίες εξαλλοιώσεων από 30 - 450°C (HENLEY & MC NABB, 1978). Η διαπίστωση ότι περιφερειακά της ζώνης αυτής ο σερικίτης συνοδεύεται από καθοινίτη ενισχύει την άποψη μοντέλου πορφυρικού τύπου. Η ονομαζόμενη όμως "Argillitic Zone" δεν έχει σαφή ή ιδιαίτερη χαρακτήρα στην "Παγών Ράχη". Εξ' άλλου όπως διαφαίνεται και στην βιβλιογραφία η ζώνη αυτή κατά το πλείστον δεν είναι μεγάλης σημασίας.

Η κεντρική ζώνη στη "Παγών Ράχη" αντιστοιχεί με την ονομαζόμενη "Potassic Zone" κατά LOWEL & GUILBERT (1970), ή "K-Silikate Zone" κατά CREASEY (1959), SILLITOE (1973) κ.α., στην οποία αναφέρονται σαν βασικά υδροθερμικά ορυκτά καλιούχοι άστροι και βιοτίτης. Στην ίδια ζώνη κυριαρχεί όμως σαν υδροθερμικός άστρος ο αλβίτης και ακολουθεί ο καλιούχος άστρος σε μικρότερη μεν αλλά επαρκή περιεκτικότητα εν σχέση με άλλα ορυκτά εξαλλοιώσης. Η ασαφής σύμφωνη του μέσα στο σύμπλεγμα της αλβίτηκής κρυστάλλωσης δυσκολεύουν δυστυχώς τον προσδιορισμό του και μετώπουν έτσι οπτικά την σημασία του. Σχετικά με την υπεροχή του αλβίτη απέναντι του καλιούχου άστρου αναφέρονται και άλλα παραδείγματα (DAVIS & LUHTA, 1978, DOWSETT, 1980, HOLLISTER et al 1975), που η προσφορά άστρου είναι Ιαχυρότερη, ή αντικαθιστά την μετασωμάτωση κάλου στη ζώνη μεταλλοφορίας πορφυρικού τύπου. Σε εξαλλοιώσεις που υπερισχύει ο αλβίτης σε παραγένεση με καλιούχο άστρο, χαλαζία, σερικίτη και θειούχα μεταλλικά ορυκτά, αναφέρονται θερμοκρασίες 400-500°C (MEYER & HEMLEY 1967, DOWSETT 1980).

Το επόμενο υδροθερμικό ορυκτό, ο βιοτίτης, που χαρακτηρίζει μια "Potassic Zone", αντιπροσωπεύεται στην κεντρική ζώνη και συγγενεύει χημικά με τον πρωτογενή βιοτίτη του ιγνή δακτυοανδεσίτη, πράγμα που ενισχύει την άποψη ότι πρέπει να σχηματίσθηκε σε σχετικά ύψηλες θερμοκρασίες. Οι JACOBS & PARRY (1979) αναφέρουν για το σχηματισμό δευτερογενή βιοτίτη περιθώρια θερμοκρασίας από 530-670°C.

Η μετάβαση χημισμού (και οπτικών ιδιοτήτων) του βιοτίτη προς φλογοπίτη και στη συνέχεια προς "σερικίτη" είναι μάλλον αποτέλεσμα βαθμιαίας πτώσης της θερμοκρασίας. Άλλα ακόμα και οι τελευταίοι έχουν υψηλότερες περιεκτικότητες μαγνητίτου και σιδήρου από τους καθ' αυτού σερικίτες της περιβάλλουσας "Phyllitic Zone".

Για υψηλές θερμοκρασίες εξαλλοιώσεων στην κεντρική ζώνη συνηγορεί και ο δευτερογενής σχηματισμός αμφιβόλου, ο οποίος συνυπάρχει ή εναλλάσσεται με βιοτίτη, ανάλογα με την προσφορά κάλου (BEANE, 1982). Ο μαγνητίτης συμπληρώνει την παραγένεση προϊόντων Ιαχυρής εξαλλοιώσης (BEANE, 1982). Η υπαρξη φθορίτου, αν και

σε μικρές περιεκτικότητες, εντοχύει την άποψη μιας επίδρασης σχετικά υψηλών θερμοκρασιών.

Τέλος, ο χλωρίτης (και το επίδοτο) είναι μάλλον προϊόντα μειούμενης θερμοκρασίας και μερικής αντικατάστασης του παραπάνω αναφερόμενου αμφιβόλου και βιοτίτη/φλογοπίτη. Εν τούτοις η διαφορά χημισμού από τον χλωρίτη της προπυλτιώσης τονίζει ακόμα μια φορά τον ιδιαίτοντα χαρακτήρα των ορυκτών εξαλλοιώσης στην κεντρική ζώνη.

Σαν αποτέλεσμα της ιδιαίτερα έντονης υδροθερμικής δραστηριότητας θεωρείται επίσης η λαχυρή σύμφωση των παραπάνω αναφερόμενων ορυκτών μεταξύ τους, στην οποία οφείλεται η σκληρότητα και ο συμπαγής χαρακτήρας του πετρώματος.

Τέλος, ο διάσπαρτος μολυβδανίτης στην κεντρική ζώνη και η σχετική με τις περιβαλλόμενες ζώνες υψηλότερες τιμές χαλκού δεν είναι τυχαίο γεγονός, παρά αποτέλεσμα μιας μεταμαγματικής εξέλιξης που ανταποκρίνεται στους κανόνες μεταλλοφορίας πορφυρικού τύπου. Οι υψηλές περιεκτικότητες Ρένιου στο κρυσταλλικό πλέγμα του μολυβδανίτη είναι πιθανόν και αυτό αποτέλεσμα υψηλών θερμοκρασιών των διαλυμάτων.

Ότι αφορά την γεωμετρία των εξαλλοιώσεων, έχουμε μέχρι τώρα γνώση των δεδομένων επιφάνειας. Το τυήμα του σερικιτιωμένου (ξεθωριασμένου) δακτυοανδεσίτη (άνω των 2 km²), που εμφανίζεται στην επιφάνεια προδιαγράφει την ογκώδη διάσταση αυτής της λαχυρά εξαλλοιωμένης και κοιτασματολογικά ενδιαφέρουσας ζώνης. Εξ' αλλού θεωρείται σαν βέβαιο ότι οι διαστάσεις της ευρύνονται πλευρικά κάτω από τη ζώνη προπυλτιώσης. Αυτό το συμπέρασμα εντοχύεται από το γεγονός ότι παρόμοια έντονες εξαλλοιώσεις διασχίζουν κατά μήκος τεκτονικών γραμμών τον περιβάλλοντα προπυλτιωμένο δακτυοανδεσίτη, π.χ. ανατολικά μέχρι Μαυρόπετρα (σχ. 2). Τα ανερχόμενα διαλύματα που προκάλεσαν αυτές τις ρηγματοειδείς εξαλλοιώσεις πρέπει να προήλθαν από υδροθερμικό πεδίο, ανάλογο εκείνου της ζώνης σερικιτιώσης.

Σύμφωνα με την παραπάνω σκέψη είναι πολύ πιθανή μια αντίστοιχη εύρυνση και της κεντρικής ζώνης στο βάθος. Ότι αφορά την μεταλλοφορία, πιθανόν αυξανόμενη ένταση της υδροθερμικής δράσης στο βάθος να συνοδεύεται από αύξηση και από πιο ομοιόμορφη κατανομή της περιεκτικότητας του μολυβδανίτη. Εάν π.χ. οι υψηλότερες τιμές που μετρήθηκαν στην επιφάνεια (0,2% MoS₂) αποτελέσουν σταθερές μέσες τιμές του ολικού πετρώματος τότε η θέση "Παγώνη Ράχη" αποκτά το αναμενόμενο κοτασματολογικό ενδιαφέρον, λαμβάνοντας υπόψη ότι μέσες περιεκτικότητες ήδη από 0,15% MoS₂ αποτελούν βάση οικονομικού ενδιαφέροντος προϋποθέτοντας φυσικά και το ανάλογα απαιτούμενο αποθεματικό. Τέλος, δεν πρέπει να παραμελήσει κανείς τις ιδιαίτερα υψηλές περιεκτικότητες Ρένιου, που απωσδήποτε ανεβάζουν την αξία του μολυβδανίτη. Η συνεισφορά χαλκού πιθανόν να αποκτήσει σε βαθύτερους ορίζοντες μεγαλύτερο ενδιαφέρον και ενδείκνυται στην συνέχεια της έρευνας η ανάλυση και άλλων σπάνιων στοιχείων.

Ψηφιακή Βιβλιοθήκη "Θεόφραστος" - Τμήμα Γεωλογίας Α.Π.Θ.

Οι εμπειρίες που προκύπτουν από τη μελέτη αυτή αποτελούν συνεισφορά στην έρευνα των εξαλλοιώσεων και στην εντόπιση μεταλλοφόρων ζωνών σε υποφασιστελλόκα σώματα της περιοχής Κίρκης-Αισόμης. Συγκεκριμένα οι υποφασιστίτες περιοχής "Μόλων" Αισόμης και της περιοχής ΒΑ Κίρκης είναι του ίσου πετρολογικού τύπου, έχουν την ίδια υφή, ορυκτολογική και χημική σύσταση και εντυπωσιάζουν οι ομοιότητές σε όλο το φάσμα των μεσοθερμικών εξαλλοιώσεων της προπυλτιώσης και σερικιτιώσης-πυριτίωσης (APIKAS 1985). Ενδιαφέρον παρουσιάζουν επίσης δύο μερικές σερικιτιώσεις βορειοδυτικά του μεταλλείου Άγιου Φιλίππου (π.χ. Θερμό Ρέμα). Οι ζώνες αυτές σερικιτίωσης αποτελούν μάλλον εξαλλοιώσεις σχετικά μικρού βάθους. Το παραδειγμα της εμφάνισης "Παγώνη Ράχη" ενθαρρύνει την προσάθεια για τον εντοπισμό βαθύτερων ζωνών με καταθερμικές/πνευματολιτικές εξαλλοιώσεις με διάσπαρτη μεταλλοφορία μολυβδανίτη/χαλκοπυρίτη. Πράγματι σε τελευταίες μελέτες από BOYDOURH, MICHAIL και APIKA εντοπίσθηκαν σε υποφασιστή των Κασσίτερων (4km ΒΔ Κίρκης) εντυπωσιακά δύο μερικές εξαλλοιώσεις με εκείνες της "κεντρικής ζώνης" της "Παγώνη Ράχη". και διαπιστώθηκαν ενθαρρυντικές ανωμαλίες μολυβδανίου και χαλκού.

ΒΙΒΛΙΟΓΡΑΦΙΑ

- ARIKAS, K. (1979a): Geologische und petrographische Untersuchungen in der Umgebung von Kirkki (Thrakien Nordgriechenland).- Mitt. Geol.-Paläont. Inst. Univ. Hamburg 49, 1-26.
ARIKAS, K. (1979b): Ein porphyrisches Mo-Cu-Vorkommen bei Kirkki (Thrakien, Nordgriechenland). N. Jb. Min. Abh. 137, 74-82.
ARIKAS, K. (1981): Subvulkanisch-hydrothermale Mo-Cu-Zn-Pb-Vererzungen, S.E. Rhodopen, Nordgriechenland: Petrographie und Geochemie.- Tschermaks Min. Petr. Mitt. 28, 189-205.
APIKAS, K. (1985): Οι υδροθερμικές εξαλλοιώσεις υποφασιστών περιοχής "Μόλων" Αισόμης: Ορυκτολογία και γεωχημεία.- Έκθεση ΙΤΗΕ-Παράρτημα Ξάνθης, Ξάνθη 1985.
BEANE, R.E. (1982): Hydrothermal alteration in silicate rocks: Southwestern North America.- in TITELY, S.R. (ed.): Advances in Geology of the Porphyry Copper Deposits, Southwestern North America.- Tucson, Univ. Arizona Press, Chapter 6.
CREASSY, S.C. (1959): Some phase relations in hydrothermally altered rocks of porphyry copper deposits.- Econ. Geol. 54, 353-373.
DAVIS, J.F. & LUHTA, L.E. (1978): An archean "porphyry-type" disseminated copper deposit, Timmins, Ontario.- Econ. Geol. 73, 383-398.
DOWSETT, F.R. (1980): Hydrothermal alteration of the Hahns Peak Stock, Routt County, Colorado.- Econ. Geol. 75, 30-44.
FLEISCHER, M. (1959): The geochemistry of rhenium, with special reference to its occurrence in molybdenite.- Econ. Geol. 54, 1406-1413.
FOSTER, M.D. (1969): Interpretation of the composition of trioctahedral micas.- U.S. Geol. Surv. Prof. Pap. 354-B, 48 o.
HENLEY, R.W. & MC NABB, A. (1978): Magmatic vapor plumes and ground-water interaction in porphyry copper emplacement.- Econ. Geol. 73, 1-20.
HEY, M.H. (1954): A new review of the chlorites.- Min. Mag. 30, 277-292.
HOLLISTER, V.F., ANZALONE, S.A. & RICHTER, D.H. (1975): Porphyry copper deposits of Southern Alaska and contiguous Yukon Territory.- Canadian Mining Metallurgy Bull., 68, 104-112.
JACOBS, D.C. & PARRY, W.T. (1979): Geochemistry of biotite in the Santa Rita porphyry copper deposits, New Mexico.- Econ. Geol. 74, 860-887.

- KATIPTZOGLOU, K. (1978): Γεωλογικός και κοιτασματολογικός χάρτης περιοχής Προφ. Ηάλα Αισώμης 1:10000, ΙΓΜΕ, Ξάνθη 1978.
- KATIPTZOGLOU, K. (1979): Γεωλογικός και κοιτασματολογικός χάρτης περιοχής Αισώμης-Ερυμοχώρου 1:10000, ΙΓΜΕ, Ξάνθη 1979.
- KATIPTZOGLOU, K. (1986): Μεταλλογένεση της τριτογενούς θειούχου μεταλλοφορίας περιοχής Αισώμης νομού Έβρου. Διδακτορική διατριβή, Πανεπιστήμιο Αθηνών.
- LOWELL, J.D. & GUILBERT, J.M. (1979): Lateral and vertical alteration-mineralization zoning in porphyry ore deposits.- *Econ. Geol.*, 65, 373-408.
- MEYER, C. & HEMLEY, J.J. (1967): Wall rock alteration.- in BARNES, H.L. (ed.); *Geochemistry of hydrothermal ore deposits*.- New York, Holt, Rinehart and Winston, 166-225.
- PECCERILLO, A. & TAYLOR, S.R. (1976): Geochemistry of Eocene calc-alcaline volcanic rocks from the Kastamony area, Northern Turkey.- *Contr. Miner. Petrol.* 58, 63-81.
- SILLITOE, R.H. (1973): The tops and bottoms of porphyry copper deposits.- *Econ. Geol.* 68, 799-815.
- SUTULOV, A. (1975): Copper Porphyries-Miller Freeman, California, 206 p.
- TROGER, W.E. (1971): Optische Bestimmung der gesteinbildenden Minerale, Teil 1: Tabellenbuch.- Schweizerbart'sche Verlagsvuchhandlung, Stuttgart.
- WESTRA, G. & KEITH, S.B. (1981): Classification and genesis of stockwork molybdenum deposits.- *Econ. Geol.* 76, 844-873.